

Министерство образования Российской Федерации  
РОСТОВСКИЙ ГОСУДАРСТВЕННЫЙ УНИВЕРСИТЕТ

---

**С.С.Михалкович, А.В.Олифер, А.М.Столяр**

## **ЧИСЛЕННЫЕ МЕТОДЫ**

Выпуск III

Оптимизация. Системы нелинейных уравнений.

Методические указания к выполнению  
индивидуальных заданий на ЭВМ  
для студентов 2 курса физического факультета

Ростов-на-Дону

2000

## Введение

Настоящие методические указания являются продолжением [1],[2] и содержат изложение теоретического материала, а также индивидуальные задания по следующим темам курса “Численные методы”: одномерная и многомерная оптимизация, решение систем нелинейных уравнений.

Современные математические пакеты типа Maple, Mathematica, Matlab предоставляют ряд готовых процедур для решения задач этих типов. Однако, для ясного понимания сути заложенных в них численных методов, их характеристик и ограничений, на наш взгляд требуется умение реализовывать простейшие из них.

Для реализации методов можно использовать как транслирующие языки программирования типа Паскаль, С, так и интерпретирующие языки, заложенные в сами математические пакеты. При выборе среды программирования необходимо принимать в расчет следующие факторы. Система Maple, в отличие от языков Паскаль и С, поддерживает символьные вычисления, вычисления со сверхвысокой точностью, возможность быстрой визуализации исходных данных и полученных результатов. Язык программирования Maple содержит набор универсальных структур данных типа множеств и списков. Maple позволяет также сравнить полученное численное решение с решением, даваемым стандартными процедурами. Наконец, лист Maple является удобным средством отчета, поскольку содержит как тексты программ, так и результаты расчетов вместе с их графической интерпретацией. Однако, Maple-программа, не вызывающая стандартные математические процедуры, а содержащая лишь управляющие конструкции языка, уступает по скорости (нередко существенно) соответствующим Паскаль- или С-программам. Поэтому при реализации емких по времени алгоритмов рекомендуется использовать языки транслирующего типа, применяя Maple лишь как средство визуализации результатов, выбора начального приближения и т.п.

Все алгоритмы, приводимые в настоящих методических указаниях, являются простыми. Их рекомендуется выполнять полностью в Maple, концентрируясь на сути применяемых численных методов.

## 1 Одномерная оптимизация

### 1.1 Задание

Найти все локальные минимумы и максимумы функции  $y=f(x)$  и точки, в которых они достигаются:

- a) методом Ньютона;
- b) методом золотого сечения.

Определить, сколько итераций потребуется в каждом методе для достижения точности  $\varepsilon = 10^{-3}, 10^{-5}, 10^{-7}$  при одних и тех же начальных приближениях.

Включить в отчет ответы на вопросы, сформулированные в пункте “Тестовый пример”.

Рекомендуемая литература: [4], с.407–421; [6].

## 1.2 Тестовый пример

Для функции  $F(x) = x^3 - 8x^2 + 2x - 5 + \sin x$

$$x_{\min} = 5.17574239, \quad F(x_{\min}) = -71.20016030691437 ;$$

$$x_{\max} = 0.19334459, \quad F(x_{\max}) = -4.712997997082332 .$$

В методе Ньютона определите, при каких начальных приближениях итерационный процесс сходится к минимуму, а при каких – к максимуму. Проследите, как ведет себя итерационный процесс при задании начального приближения в окрестности точки перегиба, вычисляемой в системе Maple с помощью команды **evalf(solve(DDF(x)=0))**.

В методе золотого сечения определите, к чему сходится итерационный процесс, если вызвать процедуру **gold** (см. пункт 1.5.2) с интервалом  $[a, b]$ , содержащим как точку минимума, так и точку максимума.

## 1.3 Вводные замечания

Под *задачей оптимизации* будем понимать нахождение экстремума (минимума или максимума) функции одной или нескольких вещественных переменных. К решению оптимизационных задач сводятся задачи поиска корней нелинейных уравнений и систем, аппроксимации функций и др.

Пусть дана вещественная функция  $n$  вещественных переменных  $F(\mathbf{x})$ ,  $\mathbf{x} = (x_1, \dots, x_n)$ , определенная в замкнутой области  $S \in R^n$ . Требуется найти

$$\min_{\mathbf{x} \in S} F(\mathbf{x}) \quad \left( \max_{\mathbf{x} \in S} F(\mathbf{x}) \right) \quad (1)$$

и точку  $\mathbf{x}^* \in S$ , в которой он достигается.

Заметим, что поиск максимума функции  $F(\mathbf{x})$  эквивалентен поиску минимума функции  $-F(\mathbf{x})$ . Поэтому далее сконцентрируем внимание именно на задаче минимизации.

Множество  $S$  выражает ограничения задачи. Например, во многих физических задачах требуется, чтобы переменные были неотрицательны:  $S = \{\mathbf{x}: x_i \geq 0\}$ . Если  $S$  совпадает с  $R^n$ , то говорят о задаче *безусловной оптимизации*, в противном случае говорят об *условной оптимизации*.

Определим также следующие два термина. Будем говорить, что  $F(\mathbf{x})$  имеет в точке  $\mathbf{x}^* \in S$  *глобальный минимум*, если  $F(\mathbf{x}) \geq F(\mathbf{x}^*)$  для любого  $\mathbf{x} \in S$ . Аналогично,  $F(\mathbf{x})$  имеет в точке  $\mathbf{x}^* \in S$  *локальный минимум*, если  $F(\mathbf{x}) \geq F(\mathbf{x}^*)$  для всех  $\mathbf{x} \in S \cap D(\mathbf{x}^*)$ , где  $D(\mathbf{x}^*)$  – некоторая окрестность точки  $\mathbf{x}^*$ .

Если локальный минимум достигается во внутренней точке  $\mathbf{x}^*$  области  $S$  и функция  $F(\mathbf{x})$  дифференцируема в этой точке, то  $\mathbf{x}^*$  является критической точкой, т.е. выполняются условия:

$$\frac{\partial F}{\partial x_i}(\mathbf{x}^*) = 0, \quad i = 1, \dots, n. \quad (2)$$

Обратное неверно: критическая точка не обязана быть экстремальной. Например, в одномерном случае для функции  $y = x^3$  точка  $x=0$  является критической, но не является точкой экстремума. В двумерном случае для функции  $F(x, y) = x^2 - y^2$  критической является точка  $(0, 0)$ . Она также не реализует экстремум, поскольку одномерная функция  $F(x, 0)$  имеет минимум при  $x = 0$ , а одномерная функция  $F(0, y)$  – максимум при  $y = 0$ .

Если же локальный минимум достигается на границе области  $S$ , то точка минимума не обязана быть критической. Например, функция  $f(x) = x$  достигает на отрезке  $[1, 2]$  минимум в точке  $x^* = 1$ , но  $f'(1) = 1 \neq 0$ .

Мы ограничимся поиском локальных минимумов в задаче безусловной оптимизации.

Опишем два основных алгоритма одномерной оптимизации. *Метод золотого сечения* использует для своей работы только значения функции, сходится всегда, но обеспечивает лишь линейную скорость сходимости ([1], с.15). *Метод Ньютона* использует значения первой и второй производных функции  $F(x)$ , имеет квадратичную скорость сходимости, но может расходиться при плохом выборе начального приближения. Обычно в реальных задачах комбинируют оба метода, применяя для локализации корней метод золотого сечения, а затем на заключительном этапе – метод Ньютона.

## 1.4 Метод Ньютона

### 1.4.1 Идея метода

В основе метода Ньютона лежит приближение  $F(x)$  квадратичной функцией, экстремум которой находится явно и используется в качестве следующего начального приближения.

Зададимся некоторым начальным приближением  $x_0$  и выпишем первые три члена ряда Тейлора функции  $F(x)$  в окрестности этой точки:

$$F(x_0 + \Delta x) \approx F(x_0) + F'(x_0) \cdot \Delta x + \frac{F''(x_0)}{2} (\Delta x)^2. \quad (3)$$

Экстремум квадратичной функции в правой части (3) достигается при  $\Delta x = -F'(x_0)/F''(x_0)$ . Поэтому в качестве следующего приближения можно выбрать точку  $x_1 = x_0 - F'(x_0)/F''(x_0)$ . Получаем итерационный процесс

$$x_{k+1} = x_k - F'(x_k)/F''(x_k), \quad k = 0, 1, \dots, \quad (4)$$

дающий алгоритм *метода Ньютона*.

Отметим, что при выборе начального приближения достаточно близко к точке экстремума метод Ньютона гарантированно сходится. Отметим также, что метод Ньютона может сходиться как к локальному минимуму, так и к локальному максимуму, поэтому в полученной точке экстремума  $x^*$  требуется дополнительно вычислить  $F''(x^*)$ . Если  $F''(x^*) > 0$ , то мы имеем дело с локальным минимумом, если же  $F''(x^*) < 0$  – с локальным максимумом. Наконец, заметим, что если для некоторого  $x_k$  окажется  $F''(x_k) = 0$ , то метод Ньютона завершится делением на 0.

### 1.4.2 Замечания по численной реализации

Так как в точке экстремума  $x^*$  выполняется условие  $F'(x^*) = 0$ , то в ее окрестности

$$\Delta F = F(x^* + \Delta x) - F(x^*) \approx \frac{F''(x^*)}{2} (\Delta x)^2. \quad (5)$$

Поэтому, если величина  $F''(x^*)$  порядка единицы, то, например, при погрешности вычисления функции  $\Delta F \cong 10^{-12}$  погрешность решения  $\Delta x$  составит  $\cong 10^{-6}$ . Таким образом, при использовании типа **real** в языке Turbo Pascal не рекомендуется задавать погрешность вычислений  $\varepsilon < 10^{-6}$ . В системе Maple по умолчанию количество значащих цифр при работе с вещественными числами равно 10, поэтому для вычисления решения с погрешностью  $\cong 10^{-6}$  необходимо выполнить присваивание

**Digits:=12;**

где **Digits** – переменная среды Maple.

Процедура метода Ньютона должна иметь следующие параметры:

**x0** – начальное приближение;

**eps** – точность;

**niter** – количество итераций (выходной параметр).

Найденное значение корня должно быть возвращаемым значением процедуры (в Maple процедуры могут возвращать значения, в Паскале для этого используются функции). Желательно передавать также функцию  $F(x)$  в качестве функционального параметра. Наконец, если метод Ньютона расходится, то для распознавания такой ситуации можно возвращать **niter=0**.

Дадим несколько рекомендаций по работе в системе Maple.

1) Несколько связанных команд лучше набирать в одной *командной строке* Maple (она начинается с символа ">"). Если команды разделяются символом ":", то промежуточные результаты не отображаются. При нажатии в конце строки комбинации клавиш Shift-Enter создается новая строка текста без перехода к следующей командной строке.

2) Функции, задаваемые выражением, описываются в Maple либо с помощью *функционального оператора*:

**F:=x->x^3-x^2;**

либо с помощью команды **unapply**:

**F:=unapply(x^3-x^2,x);**

3) Производные вычисляются с помощью оператора **D**:

**DF:=D(F): DDF:=D(DF);**

4) Описание процедуры в системе Maple имеет вид:

```
newton:=proc(x0,eps::numeric,F::procedure,
              niter::evaln)
  local x,n,...
  global ...
  x:=x0;
  ...
  niter:=n;
  x;
end;
```

Описание используемых локальных и глобальных переменных в процедурах Maple необязательно, но весьма желательно. Параметры, передаваемые по значению (например, **x0**), нельзя менять в теле процедуры; для этой цели следует использовать локальные переменные, которым присваиваются значения формальных параметров (**x:=x0**). Параметр, описанный как **::evaln**, вычисляется внутри процедуры, и результат

вычислений присваивается соответствующему фактическому параметру при вызове процедуры (аналог параметра-переменной в Паскале). Возвращаемым значением процедуры является значение последнего оператора в теле процедуры.

5) При необходимости выводить на экран промежуточные результаты внутри процедуры используйте функцию **print**:

```
print(n,x,F(x));
```

6) Во избежание заикливания в методе Ньютона используйте смешанный оператор цикла:

```
for n from 1 to 50 while abs(x-xold)>eps do
```

## 1.5 Метод золотого сечения

### 1.5.1 Идея метода

Пусть функция  $F(x)$  определена на отрезке  $[a,b]$ , строго убывает при  $x < x^*$  ( $x^* \in [a,b]$ ) и строго возрастает при  $x > x^*$ . Такая функция называется *унимодальной* на отрезке  $[a,b]$  и имеет на  $[a,b]$  единственный минимум. Заметим, что унимодальная функция не обязана быть непрерывной.

Назовем интервал, на котором функция заведомо имеет минимум, *интервалом неопределенности* (ИН). Вначале ИН совпадает с отрезком  $[a,b]$ . Наша цель – уменьшить длину ИН до достижения заданной точности. Для этого вычислим функцию  $F(x)$  в точках  $x_1, x_2 \in [a,b]$ ,  $x_1 < x_2$ .

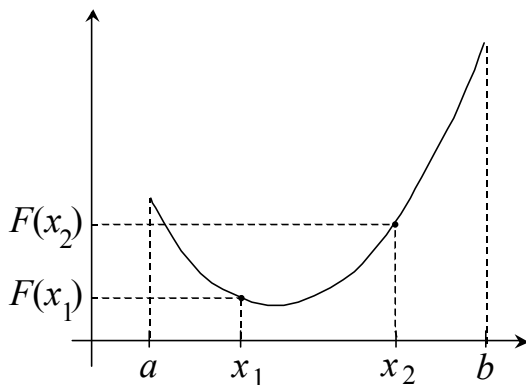


Рис. 1

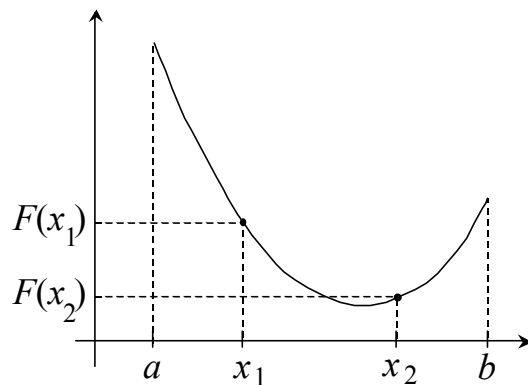
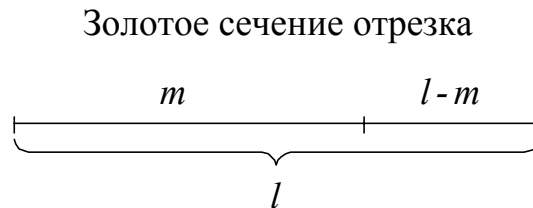


Рис. 2

Если  $F(x_1) < F(x_2)$  (рис.1), то отрезок  $[a, x_2]$  заведомо содержит минимум, поэтому его можно выбрать в качестве нового ИН. В противном случае (рис.2) – в качестве нового ИН выбирается отрезок  $[x_1, b]$ . Для каждого последующего ИН функцию достаточно вычислять в одной точке, поскольку ее значение в другой точке внутри интервала известно с предыдущего шага. Например, в случае, изображенном на рис.1, сле-

дует выбрать точку  $x_3 \in [a, x_2]$  и сравнить  $F(x_1)$  и  $F(x_3)$ . Этот процесс следует продолжать, пока длина интервала не окажется меньше наперед заданной точности  $\varepsilon$ .

Как выбирать точки  $x_i$  так, чтобы за минимальное количество итераций максимально уменьшить ИН? Метод золотого сечения предлагает следующее решение этого вопроса.



**Рис. 3**

Пусть у нас имеется отрезок длины  $l$  (рис.3). Разобьем его на части длины  $m$  и  $l-m$  ( $m > l-m$ ) таким образом, что *отношение длины большей части к длине всего отрезка равно отношению длины меньшей части к длине большей*, т.е. выполняется пропорция золотого сечения:

$$\frac{m}{l} = \frac{l-m}{m} . \quad (6)$$

Учитывая, что  $m > 0$  и  $l > 0$ , из (6) нетрудно получить:

$$r = \frac{m}{l} = \frac{\sqrt{5}-1}{2} \approx 0.6180 .$$

Число  $1/r \approx 1.6180$  называется *золотым сечением* и является фундаментальным числом, возникающим во многих областях науки и техники.

В методе золотого сечения точки  $x_1$  и  $x_2$  выбираются так, что

$$\frac{b-x_1}{b-a} = \frac{x_2-a}{b-a} = r, \quad (7)$$

откуда  $x_1 = b - r(b-a)$ ,  $x_2 = a + r(b-a)$  или  $x_2 = b + a - x_1$ . Нетрудно видеть, что при этом выполняются соотношения  $\frac{x_1-a}{x_2-a} = \frac{b-x_1}{b-x_2} = r$ , т.е.

точка  $x_2$  для отрезка  $[x_1, b]$  выполняет ту же роль, что и точка  $x_1$  для отрезка  $[a, b]$ , а точка  $x_1$  для отрезка  $[a, x_2]$  – ту же роль, что и точка  $x_2$  для  $[a, b]$ .

Из (7) также следует, что длина ИН уменьшается на каждом шаге в  $1/r$  раз. Таким образом, **за пять итераций метода золотого сечения длина интервала неопределенности уменьшается в  $(1/r)^5 \approx 11.1$  раз, т.е. примерно на порядок.**



### 1.5.2 Замечания по численной реализации

Приведем полную реализацию процедуры метода золотого сечения в системе Maple, учитывая все сделанные выше замечания.

```
> gold:=proc(a,b,eps::numeric,
              f::procedure,niter::evaln)
    local n,aa,bb,ab,xa,xb,fa,fb,fxa,fxb,r;
    global DEB;
    r:=evalf(sqrt(5)-1)/2;
    fa:=f(a); fb:=f(b);
    aa:=a; bb:=b;
    xa:=bb-r*(bb-aa); xb:=r*(bb-aa)+aa;
    fxa:=f(xa); fxb:=f(xb);
    for n from 1 to 100
        while (abs(bb-aa)>eps) do
            if (fxb<fxa) then
                aa:=xa; fa:=fxa;
                xa:=xb; fxa:=fxb;
                xb:=bb+aa-xa;
                fxb:=f(xb);
            else
                bb:=xb; fb:=fxb;
                xb:=xa; fxb:=fxa;
                xa:=bb+aa-xb;
                fxa:=f(xa);
            fi;
            ab:=(aa+bb)/2;
            if DEB=1 then print(n,ab,f(ab)); fi;
        od;
        niter:=n-1;
        ab;
    end;
```

В зависимости от значения глобальной переменной **DEB** выводятся или нет результаты промежуточных вычислений. Передача функции в качестве параметра понадобится нам при реализации многомерной оптимизации.

Заметим, что при поиске максимального значения условие **fxb<fxa** заменяется условием **fxb>fxa**. Однако, условие “ищется минимум или максимум” можно передавать в качестве параметра.

Для использования процедуры **gold** требуется, чтобы на отрезке  $[a,b]$  находилась ровно одна экстремальная точка функции  $F(x)$ . Выбор такого отрезка называется *локализацией экстремума*. В простейших ситуациях его можно производить непосредственно по виду графика

функции  $F(x)$ . Однако, мы рекомендуем автоматизировать процесс локализации.

Пусть на некотором отрезке  $[A, B]$  требуется найти все экстремумы. Разобьем его точками  $x_i$  на  $N$  равных частей. При выполнении условий  $F(x_i) > F(x_{i-1})$ ,  $F(x_i) > F(x_{i+1})$  на отрезке  $[x_{i-1}, x_{i+1}]$  находится локальный максимум, при выполнении же условий  $F(x_i) < F(x_{i-1})$ ,  $F(x_i) < F(x_{i+1})$  – локальный минимум. Число  $N$  следует выбирать так, чтобы длина каждой части была заведомо меньше половины расстояния между соседними локальными экстремумами (в этом случае на каждом участке монотонности функции будет как минимум две точки  $x_i$  и мы не “проскочим” минимум) и в то же время не слишком большим (для сокращения объема вычислений).

## 2 Многомерная оптимизация

### 2.1 Задание

Найти локальный минимум (максимум) функции двух переменных  $F(x, y)$  и точку, в которой он достигается:

- а) методом покоординатного спуска;
- б) методом наискорейшего градиентного спуска.

Определить, сколько итераций потребуется в каждом методе для достижения точности  $\varepsilon = 10^{-3}, 10^{-5}, 10^{-7}$  при одних и тех же начальных приближениях.

В Maple построить график функции  $z = F(x, y)$  и график ее линий уровня. При реализации в системе Maple на последнем графике построить также ломаную, соединяющую все последовательные приближения к решению.

Рекомендуемая литература: [3], с.290, 292–293, 329–337;  
[4], с. 424–427; [6].

### 2.2 Тестовый пример

$$\begin{aligned} f(x, y) &= x^2 + 2x + y^2 - \sin(xy); \\ \min f(x, y) &= -1.274688296; \\ (x, y)_{\min} &= (-1.2053533, -0.4975176). \end{aligned}$$

## 2.3 Методы покоординатного и наискорейшего спуска

### 2.3.1 Идея методов

Основная идея методов спуска состоит в том, что при заданном начальном приближении определяется направление, в котором функция убывает, и производится перемещение в этом направлении. Если величина шага перемещения выбрана не очень большой, то значение функции уменьшится.

Алгоритм любого метода спуска дается формулой:

$$\mathbf{x}^{k+1} = \mathbf{x}^k + h_k \mathbf{v}^k,$$

где  $\mathbf{x}^k$  –  $k$ -тое приближение к решению,  $\mathbf{v}^k$  – некоторый вектор,  $h_k$  – длина шага в направлении  $\mathbf{v}^k$ .

Как правило, в качестве  $h_k$  выбирается значение  $h$ , реализующее

$$\min_h F(\mathbf{x}^k + h\mathbf{v}^k). \quad (8)$$

В методе *наискорейшего градиентного спуска* (или просто *наискорейшего спуска*) вектор  $\mathbf{v}^k$  полагается равным вектору, противоположному градиенту функции  $F$  в точке  $\mathbf{x}^k$  и задающему направление наискорейшего убывания функции  $F$  в точке  $\mathbf{x}^k$ :

$$\mathbf{v}^k = -\text{grad } F(\mathbf{x}^k) = -\left( \frac{\partial F}{\partial x_1}(\mathbf{x}^k), \dots, \frac{\partial F}{\partial x_n}(\mathbf{x}^k) \right).$$

В методе *покоординатного спуска* в качестве  $\mathbf{v}^k$  выбираются векторы, параллельные поочередно каждой из осей координат (в двумерном случае  $\mathbf{v}^{2k} = (1, 0)$ ,  $\mathbf{v}^{2k+1} = (0, 1)$ ,  $k = 0, 1, 2, \dots$ ).

Таким образом, задача многомерной минимизации сводится на каждом шаге к решению задачи (8). Одномерная минимизация по формуле (8) проводится, как правило, методом золотого сечения с учетом следующего замечания. На прямой  $\mathbf{x}^k + h\mathbf{v}^k$  может существовать несколько локальных минимумов. Поскольку нас интересует ближайший, то до применения метода золотого сечения его вначале локализуют способом, аналогичным описанному в методе золотого сечения. Отличие состоит в том, что, задавшись некоторым шагом  $h_0$ , заведомо меньшим половины расстояния между двумя локальными экстремумами исследуемой функции, мы вычисляем значения  $F_j^k = F(\mathbf{x}^k + h_0 j \mathbf{v}^k)$ ,  $j = 0, 1, 2, \dots$ , до тех пор, пока не выполнится условие  $F_{j+1}^k > F_j^k$ . После этого вызываем процедуру метода золотого сечения, в которой миними-

зируется функция  $F(\mathbf{x}^k + h\mathbf{v}^k)$  по переменной  $h$  на сегменте  $[h_0(j-1), h_0(j+1)]$ .

В методе покоординатного спуска неизвестно, убывает или возрастает функция в направлении  $\mathbf{v}^k$ . Поэтому здесь при выполнении на первом шаге условия  $F_1^k > F_0^k$  следует изменить направление на противоположное или, что эквивалентно, изменить знак  $h_0$  и повторить алгоритм локализации.

Метод наискорейшего спуска работает, как правило, быстрее метода покоординатного спуска, но и требует вычисления частных производных функции. В некоторых же ситуациях, когда линии уровня сильно вытянуты вдоль некоторого направления, метод градиентного спуска

#### Метод покоординатного спуска

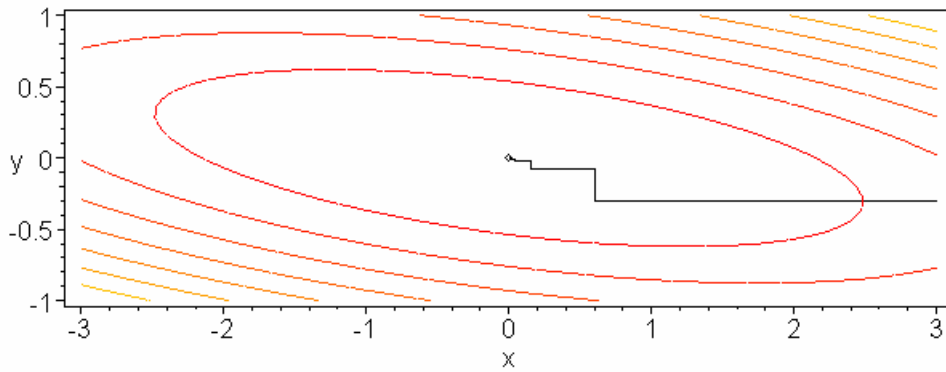


Рис. 4

#### Метод наискорейшего спуска

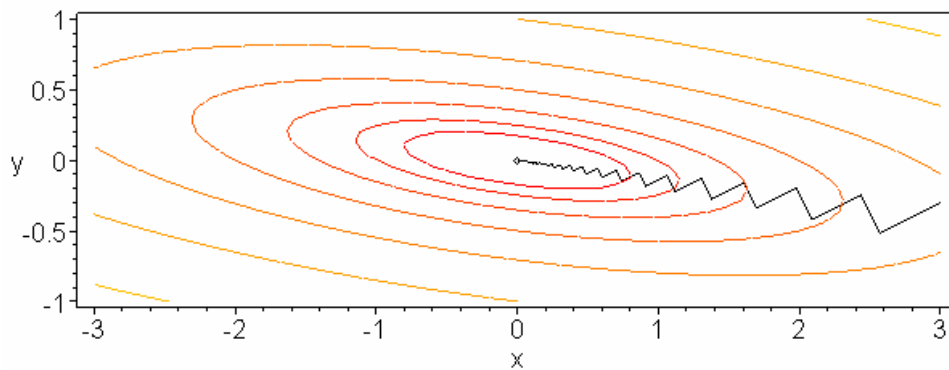


Рис. 5

неэффективен. Например, на рисунках 4 и 5 приведены результаты применения методов покоординатного и наискорейшего спусков для функции  $z(x, y) = x^2 + 4xy + 16y^2$  при начальном приближении  $\mathbf{x}^0 = (3, -0.3)$ .

### 2.3.2 Замечания по численной реализации

Как должны соотноситься точность  $\varepsilon$  решения задачи минимизации и точность  $\varepsilon_1$  поиска минимума функции одной переменной по формуле (8)? Мы рекомендуем самый простой путь: положить  $\varepsilon_1 = \varepsilon$ . Однако, следует отдавать себе отчет в том, что на первых итерациях (когда  $h_k$  – большие) искать одномерный минимум с высокой точностью – расточительство.

Процедуры наискорейшего градиентного и покоординатного спуска должны иметь следующие параметры:  $(x_0, y_0)$  – начальное приближение,  $F$  – минимизируемая функция,  $\varepsilon$  – точность решения и  $h$  – шаг локализации. При их вызове шаг локализации следует задавать не слишком маленьким (для ускорения вычислений) и не слишком большим (чтобы не “проскочить” минимум).

Приведем несколько рекомендаций по реализации в системе Maple.

1) Частные производные в системе Maple вычисляются следующим образом:

```
f:=(x,y)->...;  
dfx:=D[1](f); dfy:=D[2](f);
```

2) Двумерные точки и векторы в системе Maple следует представлять двухкомпонентным списком:

```
v0:=[x0,y0];  
...  
GRAD:=[-dfx(v0[1],v0[2]),-dfy(v0[1],v0[2])];
```

Далее с такими величинами можно работать как с векторами:

```
v0:=v0+t0*GRAD;
```

3) Двумерные точки могут выступать также в качестве возвращаемого значения функции. Таким образом, процедуры спуска могут возвращать точку локального экстремума.

4) Расстояние между двумя точками вычисляется с помощью функции `distance` и требует подключение пакета `student`:

```
with(student):  
...  
v1:=[1e10,1e10]: v0:=[x0,y0]:  
while distance(v0,v1)>eps do  
...
```

Функцию `distance` естественно использовать и для нормировки вектора градиента:

```
GRAD:=GRAD/distance([0,0],GRAD);
```

5) Как использовать в процедурах спуска процедуру `gold` без модификации? В Maple для реализации данной идеи потребуется определить локальную функцию одной переменной, используя функцию `unapply`:

```
FF:=unapply(F(v0[1]+t*GRAD[1],
              v0[2]+t*GRAD[2]),t);
t0:=gold(-h,h,FF);
```

После этого новое начальное приближение находится с помощью оператора:

```
v0:=v0+t0*GRAD;
```

6) Для запоминания всех итераций метода спуска рекомендуется ввести глобальный список точек `LST`. Его инициализация и добавление новой точки осуществляется следующим образом:

```
LST:=[];
...
LST:=[op(LST),v0];
```

7) Для вывода на одном графике линий уровня и ломаной, соединяющей последовательные итерации метода спуска (см. рис. 4,5) использовали следующие строки:

```
with(plots):
...
R1:=3: R2:=1:
A:=contourplot(F(x,y), x=-R1..R1, y=-R2..R2,
               axes=BOXED);
B:=PLOT(CURVES(LST));
display(A,B);
```

## 3 Системы нелинейных уравнений

### 3.1 Задание

Найти все решения системы нелинейных уравнений

- а) методом простой итерации;
- б) методом Ньютона.

Определить, сколько итераций  $N$  потребуется в каждом методе для достижения точности  $\varepsilon = 10^{-p}$  при одних и тех же начальных приближениях ( $p = 2, \dots, 8$  при реализации на Паскале,  $p = 2, \dots, 15$  при реализации в Maple). При выборе функции  $g(x)$  в методе простой итерации проверить достаточное условие сходимости.

Рекомендуемая литература: [3], с.255–257, 317–329; [4], с.298–303; [5], с.75–79; [6]

### 3.2 Тестовый пример

$$\begin{cases} F_1(x, y) = \frac{\cos y}{3} + 0.3; \\ F_2(x, y) = \sin(x - 0.6) - 1.6 \end{cases}$$

Решение:  $(x, y)^* = (0.1511190, -2.0340257)$ .

### 3.3 Метод простой итерации

#### 3.3.1 Идея метода

Рассмотрим систему нелинейных уравнений

$$\begin{cases} F_1(x_1, \dots, x_n) = 0, \\ F_2(x_1, \dots, x_n) = 0, \\ \dots \\ F_n(x_1, \dots, x_n) = 0, \end{cases}$$

или в векторной форме

$$F(x) = 0, \quad (9)$$

где  $F$  –  $n$ -мерная вектор-функция, действующая в пространстве  $R^n$ . В методе простой итерации векторное уравнение (9) преобразуется к виду

$$x = g(x), \quad (10)$$

где  $g(x)$  – функция, действующая из  $R^n$  в  $R^n$ . Далее выбирается некоторое начальное приближение  $x^0$  и рассматривается итерационный процесс

$$x^{m+1} = g(x^m), \quad (11)$$

Сформулируем достаточное условие его сходимости.

Пусть существует замкнутая область  $D \subset R^n$  такая, что для любого  $x \in D$   $g(x)$  также принадлежит  $D$ . Пусть также для любых  $x_1$  и  $x_2 \in D$  выполняется условие

$$\|g(x_1) - g(x_2)\| \leq q \|x_1 - x_2\|, \quad q < 1, \quad (12)$$

где  $\|\cdot\|$  – некоторая норма в  $R^n$ . Тогда нетрудно доказать, что в  $D$  существует единственное решение  $x^*$  уравнения (10) такое, что при выборе

любого  $\mathbf{x}_0 \in D$  итерационный процесс (11) сходится к этому решению. Причем, имеет место следующая оценка скорости сходимости:

$$\|\mathbf{x}^m - \mathbf{x}^*\| \leq \frac{cq^m}{1-q} \quad (13)$$

с некоторой константой  $c$ .

Функция  $\mathbf{g}$ , удовлетворяющая условию (12), называется *сжимающим отображением*, а решение уравнения (10) – *неподвижной точкой* функции  $\mathbf{g}^*$ .

Заметим, что  $\|\mathbf{x}^{m+1} - \mathbf{x}^*\| = \|\mathbf{g}(\mathbf{x}^m) - \mathbf{g}(\mathbf{x}^*)\| \leq q \|\mathbf{x}^m - \mathbf{x}^*\|$ , поэтому метод простой итерации имеет порядок сходимости 1.

Если функция  $\mathbf{g}(\mathbf{x})$  является непрерывно-дифференцируемой в области  $D$ , то для выполнения условия (12) достаточно чтобы

$$\|\mathbf{g}'(\mathbf{x})\| \leq q < 1 \quad \text{для любого } \mathbf{x} \in D. \quad (14)$$

Здесь  $\mathbf{g}'(\mathbf{x}) = \left\{ \frac{\partial g_i(\mathbf{x})}{\partial x_j} \right\}_{i,j=1}^n$  – матрица-функция,  $\|\mathbf{g}'(\mathbf{x})\|$  – ее норма,

согласованная с нормой вектора в  $R^n$ . Наиболее употребительны следующие векторные и матричные нормы ([3], с.255):

$$\|\mathbf{x}\|_\infty = \max_{1 \leq i \leq n} |x_i|, \quad \|\mathbf{A}\|_\infty = \max_{1 \leq i \leq n} \left( \sum_{j=1}^n |a_{ij}| \right),$$

$$\|\mathbf{x}\|_1 = \sum_{i=1}^n |x_i|, \quad \|\mathbf{A}\|_1 = \max_{1 \leq j \leq n} \left( \sum_{i=1}^n |a_{ij}| \right).$$

Таким образом, если  $\sum_{j=1}^n \left| \frac{\partial g_i(\mathbf{x})}{\partial x_j} \right| \leq q < 1$  для любого  $i = 1, \dots, n$ ,

$\mathbf{x} \in D$ , то выполняется условие (14) с  $\|\cdot\|_\infty$ , а если  $\sum_{i=1}^n \left| \frac{\partial g_i(\mathbf{x})}{\partial x_j} \right| \leq q < 1$  для любого  $j = 1, \dots, n$ ,  $\mathbf{x} \in D$ , то выполняется условие (14) с  $\|\cdot\|_1$ .

**Замечание.** Функция  $\mathbf{g}(\mathbf{x})$  неоднозначно определяется по функции  $\mathbf{F}(\mathbf{x})$ . Как практически выбрать  $\mathbf{g}(\mathbf{x})$  так, чтобы выполнялось условие (14)? Если  $\mathbf{F}(\mathbf{x})$  непрерывно дифференцируема и матрица-функция  $\mathbf{F}'(\mathbf{x})$  невырождена в окрестности точки  $\mathbf{x}_0$ , то в общем случае можно положить

$$\mathbf{g}(\mathbf{x}) = \mathbf{x} - (\mathbf{F}'(\mathbf{x}_0))^{-1} \mathbf{F}(\mathbf{x}). \quad (15)$$



Действительно, уравнение (10) с выбранной таким образом функцией  $\mathbf{g}(\mathbf{x})$  эквивалентно уравнению (9) (поскольку  $\mathbf{F}(\mathbf{x}^*) = 0$ ). Более того, в окрестности точки  $\mathbf{x}_0$  выполняется приближенное равенство  $\mathbf{F}'(\mathbf{x}) \approx \mathbf{F}'(\mathbf{x}_0)$ , поэтому  $\|\mathbf{g}'(\mathbf{x})\| = \|E - (\mathbf{F}'(\mathbf{x}_0))^{-1} \mathbf{F}'(\mathbf{x})\| \leq q < 1$ , где  $E$  – единичная матрица. Если при этом  $\mathbf{x}^*$  попадает в эту окрестность, то выполняется условие (14). В частных случаях выбор функции  $\mathbf{g}(\mathbf{x})$  и проверка условия (14) могут быть осуществлены значительно проще.

### 3.3.2 Проверка условий сходимости

Рассмотрим два примера, иллюстрирующие частный и общий случаи построения функции  $\mathbf{g}(\mathbf{x})$  и проверки условий сходимости в пространстве  $R^2$ . Будем полагать  $\mathbf{x} = (x, y)$ .

**Пример 1.** Рассмотрим систему ([5], с.75-76):

$$\begin{cases} F_1(x, y) = x - \left(\frac{1}{3} \cos y + 0.3\right) = 0; \\ F_2(x, y) = y - (\sin(x - 0.6) - 1.6) = 0. \end{cases}$$

Построим в Maple графики неявных функций  $F_1(x, y)$ ,  $F_2(x, y)$ , используя вызов функции **implicitplot** (см. пункт 3.2.3):

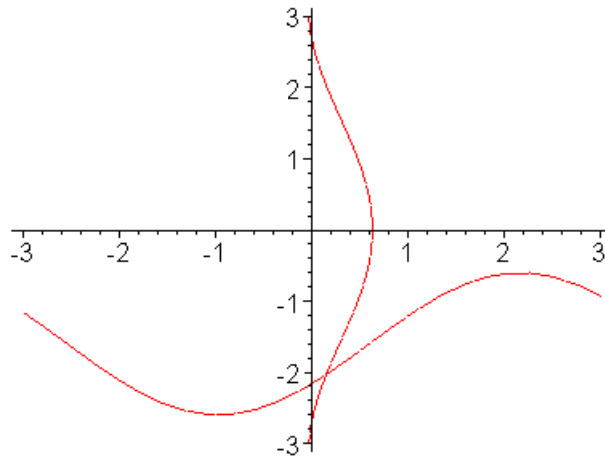


Рис. 6

Из рисунка видно, что решение локализовано в области  $D$ :  $0 \leq x \leq 0.3$ ;  $-2.2 \leq y \leq -1.8$ .

Положим  $g_1(x, y) = \frac{1}{3} \cos y + 0.3$ ,  $g_2(x, y) = \sin(x - 0.6) - 1.6$  и проверим условие (14) в области  $D$  для нормы  $\|\cdot\|_\infty$ :

$$\left| \frac{\partial g_1}{\partial x} \right| + \left| \frac{\partial g_2}{\partial x} \right| = |\cos(x - 0.6)| \leq \cos 0.3 < 1;$$

$$\left| \frac{\partial g_1}{\partial y} \right| + \left| \frac{\partial g_2}{\partial y} \right| = \left| -\frac{1}{3} \sin y \right| \leq \frac{1}{3} < 1.$$

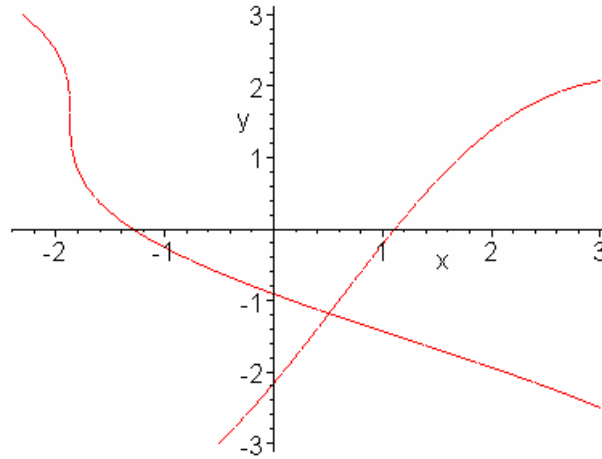
Таким образом, условие сходимости (14) выполняется и в качестве начального приближения  $\mathbf{x}_0$  можно выбрать любую точку области  $D$ .

Заметим, что если второе уравнение имеет вид  $F_2(x, y) = y - \frac{1}{2}(\sin(x - 0.6) - 1.6) = 0$ , то условие (14) выполняется для любой точки  $(x, y) \in R^2$ .

**Пример 2.** Рассмотрим систему

$$\begin{cases} F_1(x, y) = x + \cos y + y + 0.3 = 0; \\ F_2(x, y) = y - (\sin(x - 0.6) + x - 1.6) = 0. \end{cases}$$

Построим в Maple графики функций  $F_1(x, y)$ ,  $F_2(x, y)$ :



**Рис. 7**

Из рисунка видно, что решение локализовано в области  $D$ :  $0.4 \leq x \leq 0.6$ ;  $-1.1 \leq y \leq -1.3$ .

Попытаемся выбрать  $g_1(x, y) = -(\cos y + y + 0.3)$ ,  $g_2(x, y) = \sin(x - 0.6) + x - 1.6$ . Нетрудно видеть, что в области  $D$

$$\left| \frac{\partial g_2}{\partial x} \right| = |\cos(x - 0.6) + 1| \geq 1 + \cos 0.2 > 1.$$

Поэтому условие (14) не выполняется ни для  $\|\cdot\|_\infty$ , ни для  $\|\cdot\|_1$ . Итерационный процесс с так выбранной функцией  $\mathbf{g}(\mathbf{x})$  будет расходиться при любом выборе начального приближения (проверьте!). Чтобы получить сходящийся итерационный процесс, необходимо руководствоваться общим подходом и выбрать  $\mathbf{g}(\mathbf{x})$  по формуле (15), где точка  $\mathbf{x}_0$  достаточно близка к решению (скажем,  $\mathbf{x}_0 = (0.5, -1.1)$ ). Обращение матрицы  $\mathbf{F}'(\mathbf{x}_0)$  следует проводить, например, методом Крамера (см. пункт 3.4.2).

### 3.3.3 Замечания по численной реализации

1) При подборе начального приближения рекомендуется построить графики функций  $F_1(x, y)$ ,  $F_2(x, y)$  на одном рисунке, используя функцию **implicitplot** из пакета **plots** в системе Maple:

```
implicitplot ({x-G1(x,y), y-G2(x,y)},  
              x=-3..3, y=-3..3);
```

2) Процедура метода Ньютона должна иметь следующие параметры:

**x0** – начальное приближение;

**eps** – точность;

**niter** – количество итераций (выходной параметр).

Если программирование ведется в системе Maple, то вектор решения должен быть возвращаемым значением процедуры; при программировании на Паскале вектор решения необходимо возвращать как параметр-переменную процедуры.

3) Реализация метода простой итерации на языке Паскаль не должна вызвать затруднений. При программировании в системе Maple рекомендуется избрать один из следующих двух способов для работы с матрицами-функциями. Пусть имеются следующие определения функций:

```
G1:=(x,y)-> ...  
G2:=(x,y)-> ...
```

В первом способе функция **G** определяется как:

```
G:=x->[G1(x[1],x[2]), G2(x[1],x[2])];
```

В этом случае формула (11) будет иметь вид:

```
xx:=evalf(G(xx));
```

Во втором способе определение **G** и вид формулы (11) следующие:

```
G:=(x,y)->[G1(x,y), G2(x,y)];  
xx:=evalf(G(xx[1],xx[2]));
```

Если процедура метода простой итерации в Maple имеет следующий заголовок:

```
iter:=proc(x0::list,eps::numeric,  
           G::procedure,niter::evaln) ,
```

то график зависимости количества итераций от степени  $p$  погрешности  $\varepsilon = 10^{-p}$  может быть построен с использованием следующего участка кода:

```
> eps:=0.1: Digits:=20:  
   l:=[]:
```

```

for m from 1 to 15 do
  x:=[0,0]:
  iter(x,eps,G,n);
  l:=[op(l),[m,n]];
  eps:=eps/10:
od:
> plot(l, 0..15, style=point);

```

### 3.4 Метод Ньютона

#### 3.4.1 Идея метода

Пусть функция  $F(x)$  в уравнении (9) непрерывно дифференцируема,  $x^*$  – решение уравнения (9), а  $x^m$  – некоторое приближение к решению. Если  $\|x^m - x^*\|$  мала, то

$$F(x^*) \approx F(x^m) + F'(x^m)(x^* - x^m),$$

где  $F'(x) = \left\{ \frac{\partial F_i(x)}{\partial x_j} \right\}_{i,j=1}^n$  – матрица Якоби.

Поскольку  $F(x^*) = 0$ , то приближенно

$$F(x^m) + F'(x^m)(x - x^m) = 0.$$

Возьмем в качестве следующего приближения  $x^{m+1}$  решение последнего уравнения. Если  $F'(x^m)$  – обратимая матрица, то

$$x^{m+1} = x^m - (F'(x^m))^{-1} F(x^m). \quad (16)$$

Данный итерационный процесс называют *методом Ньютона решения систем нелинейных уравнений*.

Пусть в некоторой окрестности  $D$  решения  $x^*$   $F'(x)$  существует и ограничена по норме и пусть также выполняется условие

$$\|F(x_1) - F(x_2) - F'(x_2)(x_1 - x_2)\| \leq c \|x_1 - x_2\|^2 \quad (17)$$

для любых  $x_1, x_2 \in D$ . Тогда при выборе начального приближения  $x^0$  достаточно близко к  $x^*$  последовательность  $x^m$ , определяемая формулой (15), сходится к решению  $x^*$  [3, с.324].

Можно показать, что  $\|x^{m+1} - x^*\| \leq c \|x^m - x^*\|^2$  для любого  $m$ , т.е. многомерный метод Ньютона, как и одномерный, имеет квадратичный порядок сходимости.

На практике метод Ньютона гарантированно сходится лишь в достаточно малой окрестности решения, поэтому его обычно применяют для быстрого уточнения корней.

Заметим также, что метод Ньютона является разновидностью метода простой итерации с  $g(x) = x - (F'(x))^{-1}F(x)$ .

### 3.4.2 Замечания по численной реализации

1) Процедура метода Ньютона должна иметь те же параметры, что и процедура метода простой итерации.

2) При реализации метода Ньютона на языке Паскаль можно не вычислять всякий раз обратную матрицу  $(F'(x^m))^{-1}$  из (16), а вычислять вектор  $h = (F'(x^m))^{-1}F(x^m)$  как решение системы уравнений  $F'(x^m)h = F(x^m)$ . Поскольку в заданиях размерность системы  $n=2$ , то для решения такой системы без существенной потери эффективности можно использовать теорему Крамера:

$$h_i = \frac{\Delta_i}{\Delta}, i=1..2, \Delta = |F'(x^m)| = \begin{vmatrix} (F'_1)_{x_1}(x^m) & (F'_1)_{x_2}(x^m) \\ (F'_2)_{x_1}(x^m) & (F'_2)_{x_2}(x^m) \end{vmatrix},$$

$$\Delta_1 = \begin{vmatrix} F_1(x^m) & (F'_1)_{x_2}(x^m) \\ F_2(x^m) & (F'_2)_{x_2}(x^m) \end{vmatrix}, \Delta_2 = \begin{vmatrix} (F'_1)_{x_1}(x^m) & F_1(x^m) \\ (F'_2)_{x_1}(x^m) & F_2(x^m) \end{vmatrix}.$$

3) В системе Maple лучше вычислить матрицу Якоби и затем ее обратить аналитически, используя функции **jacobian** и **inverse** из пакета **linalg**. Если вектор-функция  $F$  задается командой **F:=(x,y)->[F1(x,y),F2(x,y)]**, то в процедуре метода Ньютона для этого следует выполнить следующие действия:

```
FP:=jacobian(F(x,y),[x,y]):  
FPINV:=inverse(FP):
```

Приведем также вариант основного цикла метода Ньютона:

```
> v:=xx; v1:=[1e10,1e10];  
for n to 10 while distance(v,v1)>eps do  
  v1:=eval(v);  
  M:=eval(eval(FPINV),[x=v[1],y=v[2]]):  
  v:=evalm(v-M&*F(v[1],v[2]));  
od;
```

Здесь **xx** – вектор начального приближения, функция **eval** необходима для полного вычисления символьных выражений в процедуре, функция **evalm** предназначена для проведения матричных вычислений, операция **&\*** означает матрично-векторное произведение.

## Варианты заданий к теме “Одномерная оптимизация”

1.  $F(x) = \arctan(x-2) - \frac{x}{3}$
2.  $F(x) = (x+3)e^{-\frac{1}{x^2-2x+2}}$
3.  $F(x) = x - 5\sin\frac{1}{(x-1)^2+1}$
4.  $F(x) = \ln(x^2+3x+3)(\ln(x^2+3x+4)-4)$
5.  $F(x) = e^x + e^{-x-1} - 3x^2 + 1$
6.  $F(x) = 0.01x + \cos(\arctan(x^2-2x+3)) + 1.9$
7.  $F(x) = \cos(\arctan(x^2-2x+3)) + 1.9$
8.  $F(x) = e^{0.05x-1} + \frac{x}{(x-1)^2+1}$
9.  $F(x) = \frac{x^2+1}{x^2+2x+2(e^x+e^{-x})}$
10.  $F(x) = \frac{x^4+1}{(x-1)^4+20e^{-x^2}}$
11.  $F(x) = 2^{-x^2+3x} + 2^{-5x^2-2x+1}$
12.  $F(x) = \ln(x^2+2x+1.1)\ln(x^2+3x+3)$
13.  $F(x) = (x - \arctan(x+1))^3 - 4x^2 + 3x + 10$
14.  $F(x) = (x - \arctan(x+1))^4 - 6x^3 + 8x^2 + 49x + 10$
15.  $F(x) = x\left(\arctan\frac{1}{(x+2)^2} + e^{-x^2-0.1}\right)$
16.  $F(x) = xe^{-\frac{1}{(x+1)^2+1}} - (x+1)e^{-\frac{1}{(x-1)^2+1}}$
17.  $F(x) = \left(e^{-x^2} + 0.03\arctan x\right)(x-0.5)$
18.  $F(x) = \cos\left(\frac{1}{x^2+0.2}\right) + x$
19.  $F(x) = \sin\left(\frac{1}{x^2+0.18}\right) + x$
20.  $F(x) = \sin\left(\frac{1}{\ln(x^2+1.18)}\right) + x$
21.  $F(x) = \sin\left(\frac{1}{x^2+0.4}\right) + \arctan(x+1)$

$$22. F(x) = \cos\left(\frac{1}{(x+1)^2 + 0.6}\right) + \ln\left(\frac{1}{(x-1)^2 + 1.1}\right)$$

$$23. F(x) = \frac{\ln(x^2 + 2x + 1.1)}{1.1 - e^{-x^2}}$$

$$24. F(x) = \sin\left(\frac{1}{x^2 + 0.3}\right) + \ln((x+1)^2 + 1)$$

$$25. F(x) = \cos\left(\frac{1}{(x+1)^2 + 0.6}\right) + \sin\left(\frac{1}{(x-1)^2 + 1.5}\right)$$

$$26. F(x) = \cos\left(\frac{1}{(x+1)^2 + 0.6}\right) - \sin\left(\frac{1}{(x-1)^2 + 1}\right)$$

### Варианты заданий к теме “Многомерная оптимизация”

$$1. F(x, y) = -\frac{1}{\sqrt{x^2 + x + 2} + \sqrt{y^2 + \pi y + 8}} \rightarrow \min$$

$$2. F(x, y) = \frac{1}{\sqrt{2x^2 + x + y^2 + 3} + \sqrt{x^2 + 2y^2 - 3y + 5}} \rightarrow \max$$

$$3. F(x, y) = -\frac{1}{x^2 + xy + 4y^2 + 2 + 2\sin(xy - x)} \rightarrow \min$$

$$4. F(x, y) = \frac{1}{x^2 + xy + 4y^2 + 2 + 2\cos(xy - y + 1)} \rightarrow \max$$

$$5. F(x, y) = (x + 2y) \arctan \frac{1}{x^2 + 3y^2 + 1} \rightarrow \min$$

$$6. F(x, y) = (x - y) \arctan \frac{1}{(x-1)^2 + (y+1)^2 + 1} \rightarrow \max$$

$$7. F(x, y) = e^{-\frac{1}{x^2 + y^2 + \arctan(y+x/2+1)+2}} \rightarrow \min$$

$$8. F(x, y) = -e^{-\frac{1}{x^2 + y^2 + \arctan(-y+2x-1)+2}} \rightarrow \max$$

$$9. F(x, y) = e^{-\frac{x+2y}{x^2 + y^2 + 1}} \rightarrow \min$$

$$10. F(x, y) = -e^{-\frac{x+1+2\cos y}{(x-1)^2 + y^2 + 2}} \rightarrow \max$$

$$11. F(x, y) = x^4 + y^4 + 5y^3 + 20x^2 + 15y^2 + 2 \rightarrow \min$$

$$12. F(x, y) = 3 \arctan \left( (x+2)^2 + \frac{(y-2)^2}{3} - 2xy^2 \right) - x^2 - \frac{y^2}{3} \rightarrow \max$$

$$13. F(x, y) = 3 \arctan(x - y + 2) - x^2 - \frac{y^2}{3} \rightarrow \min$$

$$14. F(x, y) = e^{-\frac{1}{x^2 + y^2 + 2 + \sin(x(y+1))}} \rightarrow \min$$

$$15. F(x, y) = -e^{-\frac{1}{x^2 + y^2 + 2 + \cos(0.3(x+1)(y-1)^2 + 1)}} \rightarrow \max$$

$$16. F(x, y) = e^{-\frac{1}{x^2 + y^2 + 2 + 5 \arctan((x-1)^2 + (y+1)^2 + 1)}} \rightarrow \min$$

$$17. F(x, y) = e^{-\frac{1}{x^2 + y^2 + 2 + \cos(0.4((x+2)^2 - (y-2)^2 + 2))}} \rightarrow \min$$

$$18. F(x, y) = e^{-\frac{1}{x^2 + y^2 + 2 + \sin(0.3((x+2)^2 - (y-2)^2 + 1))}} \rightarrow \min$$

$$19. F(x, y) = e^{-x^2 - y^2} (2x - y + 1) \rightarrow \max$$

$$20. F(x, y) = -e^{-x^2 - y^2} ((x+2)^3 - (y-2)^2 + 1) \rightarrow \min$$

$$21. F(x, y) = -e^{-x^2 - y^2} ((x-1)^3 - (y+1)^3 + 1) \rightarrow \max$$

$$22. F(x, y) = \cos \frac{1}{(x+0.3)^2 + (y-0.2)^2 + 0.4} + e^{-x^2 - y^2 + 2} \rightarrow \max$$

$$23. F(x, y) = e^{-x^2 - y^2 + 2} \cdot \cos \frac{1}{(x+0.3)^2 + (y-0.2)^2 + 0.4} \rightarrow \min$$

$$24. F(x, y) = -e^{-x^2 - y^2 + 2} \cdot \cos(0.5((x+1)^2 + (y+1)^2 + 0.4)) \rightarrow \min$$

$$25. F(x, y) = -e^{-x^2 - y^2 + 2} \cdot \sin(0.7((x+1)^2 + (y+1)^2 + 0.8)) \rightarrow \min$$

$$26. F(x, y) = \sin \frac{1}{\ln(x^2 + y^2 + 1.38) + \frac{0.8}{\ln((x-1)^2 + (y+1)^2 + 1.38)}} \rightarrow \min$$

### Варианты заданий к теме “Системы нелинейных уравнений”

$$1. \begin{cases} -\frac{x \sin(x+1)}{2} - y = 1.2; \\ x + \frac{y \cos y}{2} = 0. \end{cases}$$

$$2. \begin{cases} -\frac{x \sin(x+2)}{2} - y = 1.2; \\ x + \frac{y \cos(y-1)}{2} = -2.5. \end{cases}$$

$$3. \begin{cases} -\arctan(y-1) + x = 0; \\ -x \sin(x+2) - y = 0. \end{cases}$$

$$4. \begin{cases} -\arctan(y-2) + x = 0; \\ x \cos(x+2) - y = 0. \end{cases}$$



5.  $\begin{cases} \arctan(y-1)+x=0; \\ -x\sin(x+2)-y=0. \end{cases}$
7.  $\begin{cases} -y\arctan(y-1)+x=-2; \\ \cos(x-1)-y=1. \end{cases}$
9.  $\begin{cases} e^{-y^2}+x=0; \\ -\sin(x^2+2)-y=0. \end{cases}$
11.  $\begin{cases} -\arctan(y-1)+x=0; \\ e^{\sin(x+2)}+y=0. \end{cases}$
13.  $\begin{cases} -\arctan(y+1)+x=0; \\ e^{\sin(x+2)}+y=0. \end{cases}$
15.  $\begin{cases} -\arctan(y+1)+x=0; \\ \sin(e^{-x^2}+2)+y=0. \end{cases}$
17.  $\begin{cases} -\arctan(e^{-y^2}-1)+x=0; \\ \sin(x+2)-y=0. \end{cases}$
19.  $\begin{cases} \arctan\left(\frac{y}{y^2+1}\right)+x=0; \\ (x+1)\sin(x+2)-y=0. \end{cases}$
21.  $\begin{cases} 2y(y+1)\sin\left(\frac{y}{y^2+1}\right)+x=0; \\ \arctan(x+1)-y=1. \end{cases}$
23.  $\begin{cases} \arctan(y^2+1)+x=0; \\ x\cos(x+2)-y=0. \end{cases}$
25.  $\begin{cases} -\frac{\sin 3y}{2y}+x=-1; \\ \cos(x-1)-y=0. \end{cases}$
6.  $\begin{cases} y\arctan(y-1)+x=2; \\ \sin(x+2)-y=0. \end{cases}$
8.  $\begin{cases} -e^{-y^2}+x=0; \\ -x\sin(x+2)-y=0. \end{cases}$
10.  $\begin{cases} e^{-y^2+1}+x=1; \\ -\cos(x-1)-y=0. \end{cases}$
12.  $\begin{cases} -\arctan(y-1)+x=0; \\ e^{\sin(x+2)}-y=1. \end{cases}$
14.  $\begin{cases} -y\arctan(y+1)+x=-1; \\ e^{\cos(x+2)}+y=0. \end{cases}$
16.  $\begin{cases} \arctan(y-2)+x=0; \\ \cos(e^{-x^2}+2)-y=-2. \end{cases}$
18.  $\begin{cases} \arctan\left(\frac{y}{y^2+1}\right)+x=0; \\ \sin(x+2)-y=0. \end{cases}$
20.  $\begin{cases} 2\cos\left(\frac{y}{y^2+1}\right)+x=0; \\ \cos(x+2)-y=0. \end{cases}$
22.  $\begin{cases} \frac{\sin 3y}{y}+x=0; \\ \cos(x+2)-y=0. \end{cases}$
24.  $\begin{cases} \arctan(y^2+1)+x=0; \\ \cos(x+2)-y=0. \end{cases}$
26.  $\begin{cases} \frac{\sin 2y}{y}+x=0; \\ -\arctan(x-2)-y=0. \end{cases}$

## Литература

1. *Абрамян М.Э., Олифер А.В.* Численные методы. Методические указания к выполнению индивидуальных заданий. – Ростов-на-Дону: УПЛ РГУ, 1991. 24 с.
2. *Михалкович С.С., Обрезанова О.А., Олифер А.В.* Численные методы. Методические указания к выполнению индивидуальных заданий. Выпуск 2. – Ростов-на-Дону: УПЛ РГУ, 1995. 34 с.
3. *Бахвалов Н.С., Жидков Н.П., Кобельков Г.М.* Численные методы. – М.: Наука, 1987. 600 с.
4. *Каханер Д., Моулер К., Нэш С.* Численные методы и программное обеспечение. – М.: Мир, 1998. 576 с.
5. *Воробьева Г.Н., Данилова А.Н.* Практикум по вычислительной математике. – М.: Высшая школа, 1990. 208 с.
6. *Говорухин В.Н., Цибулин В.М.* Введение в Maple. – М.: Мир, 1997. 208с.